



FIG. 1

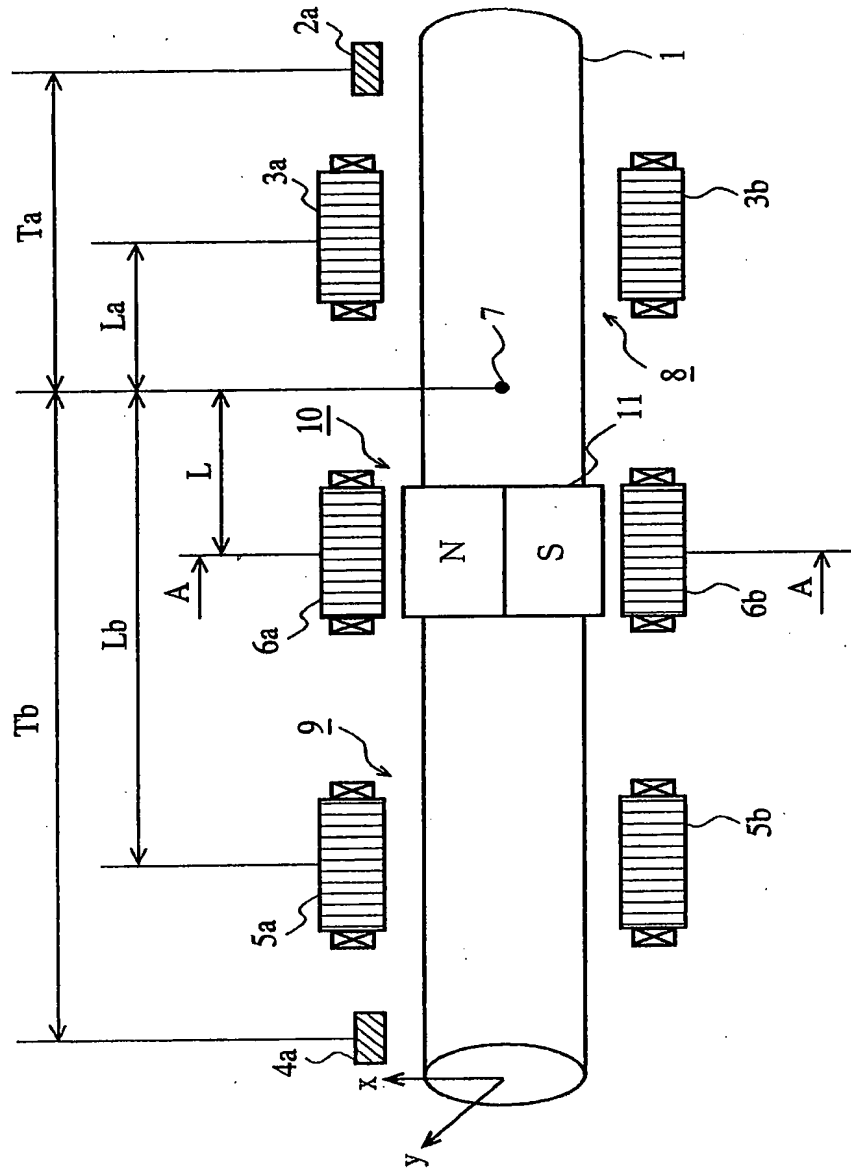




FIG. 2

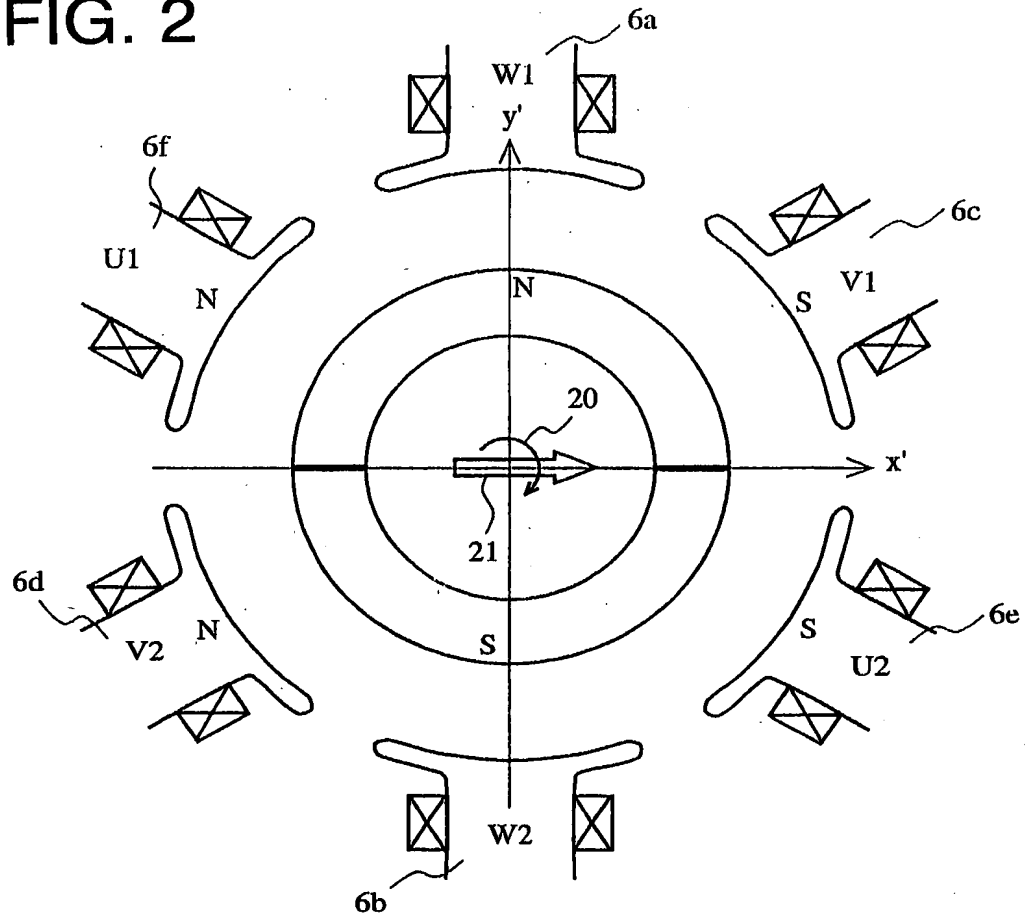


FIG. 3

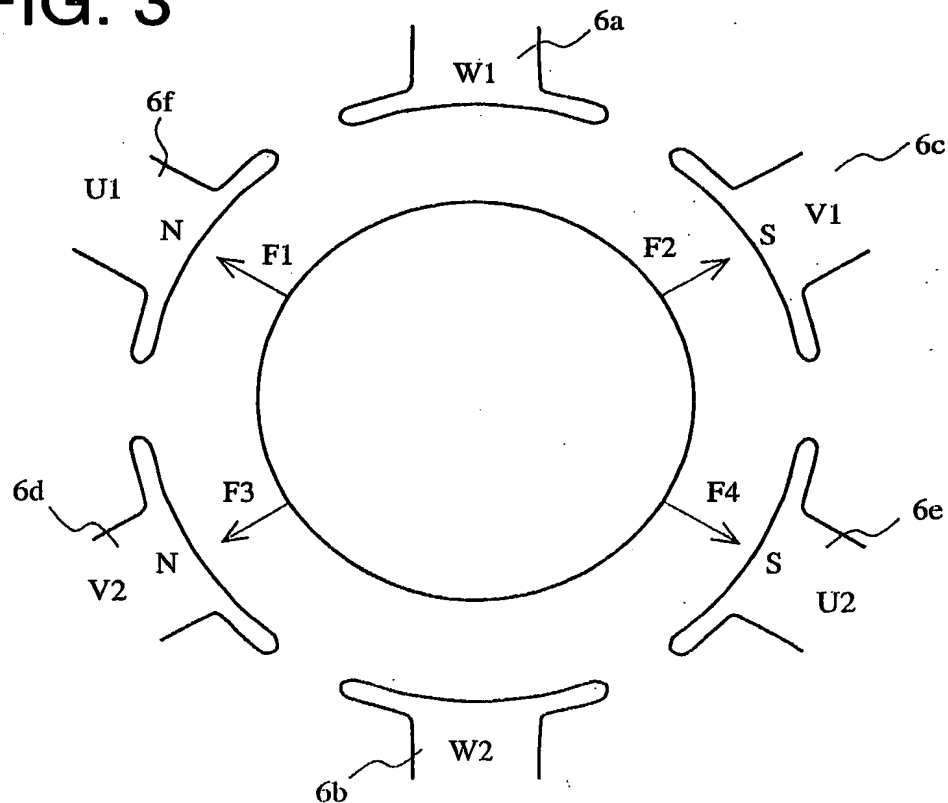




FIG. 4

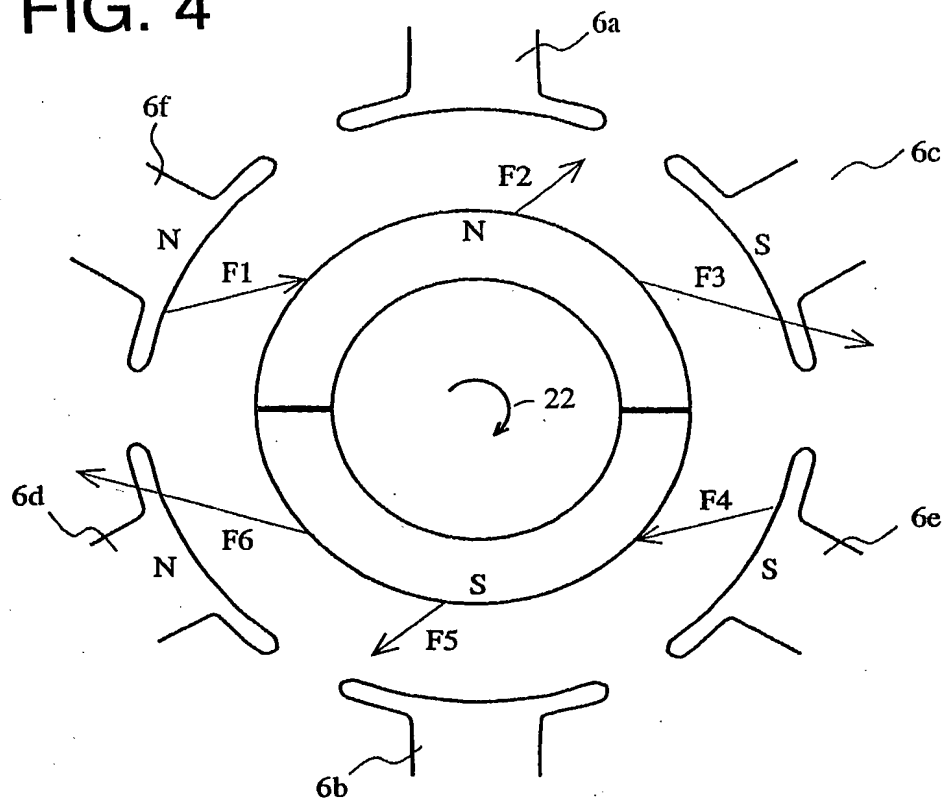
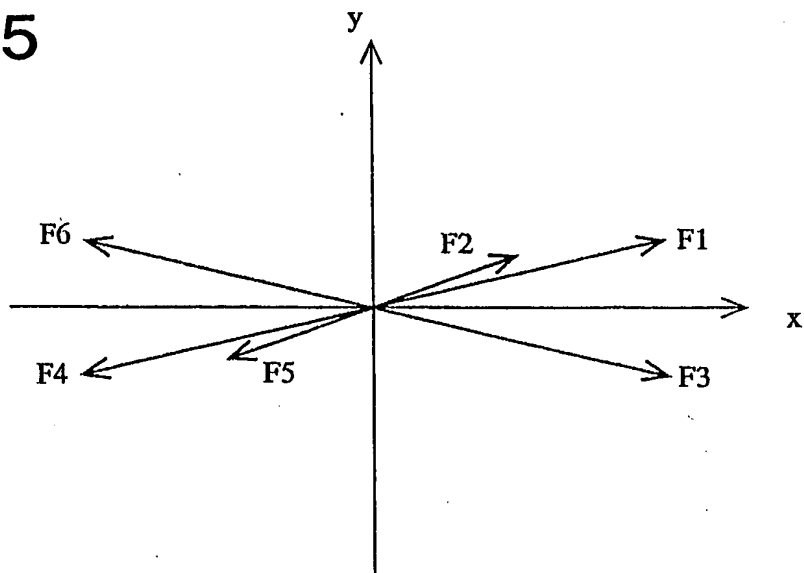


FIG. 5



[illegible]



REPLACEMENT SHEET

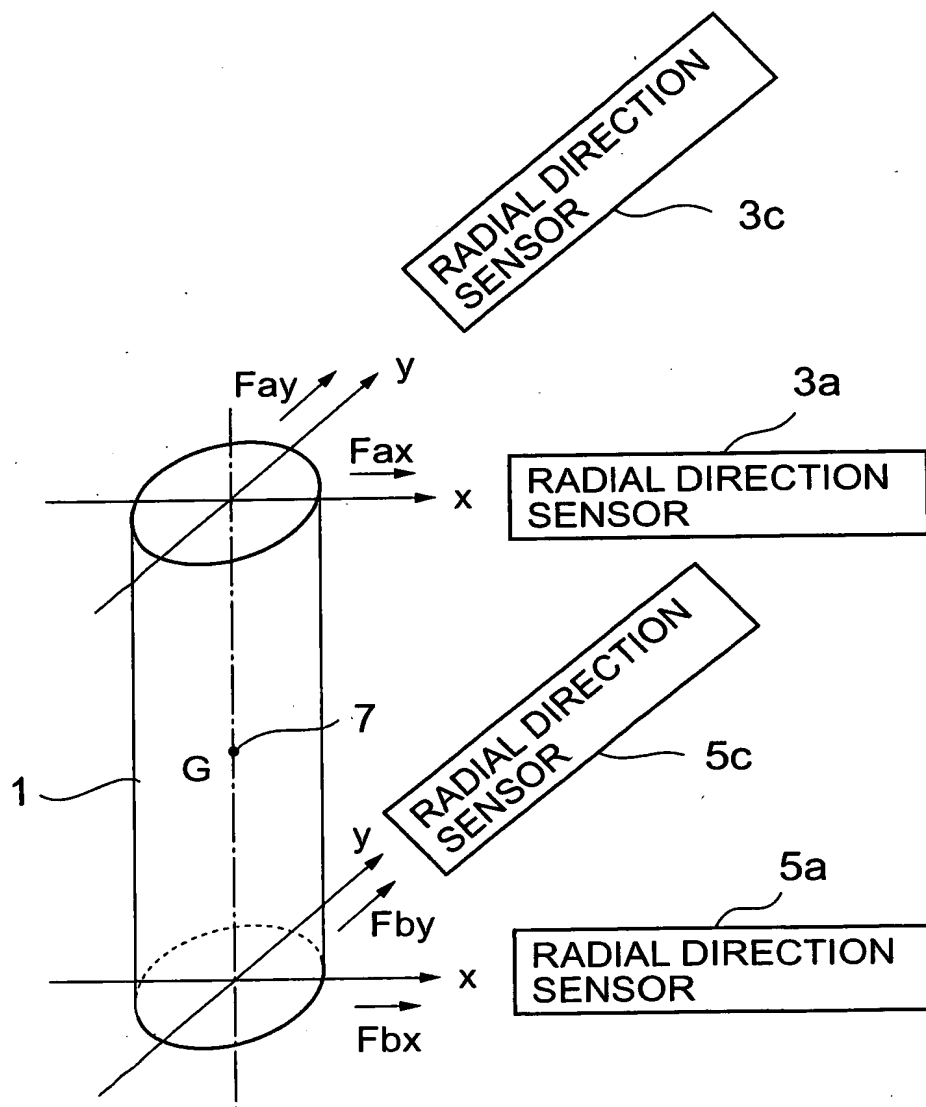
FIG. 8

PATTERNS	DIRECTION OF THE MAGNETIC FIELD GENERATED BY THE COIL 6	DECLINATION γ FROM THE MAXIMUM TORQUE POINT OF THE ROTOR 1	F _{sx}	F _{sy}
1	0°	0°	f1(Δ x)	g1(Δ y)
		20°	f2(Δ x)	g2(Δ y)
		40°	f3(Δ x)	g3(Δ y)
2	60°	0°	f1(Δ x)	g1(Δ y)
		20°	f2(Δ x)	g2(Δ y)
		40°	f3(Δ x)	g3(Δ y)
3	120°	0°	f1(Δ x)	g1(Δ y)
		20°	f2(Δ x)	g2(Δ y)
		40°	f3(Δ x)	g3(Δ y)
4	180°	0°	f1(Δ x)	g1(Δ y)
		20°	f2(Δ x)	g2(Δ y)
		40°	f3(Δ x)	g3(Δ y)
5	240°	0°	f1(Δ x)	g1(Δ y)
		20°	f2(Δ x)	g2(Δ y)
		40°	f3(Δ x)	g3(Δ y)
6	300°	0°	f1(Δ x)	g1(Δ y)
		20°	f2(Δ x)	g2(Δ y)
		40°	f3(Δ x)	g3(Δ y)



REPLACEMENT SHEET

FIG. 9



REPLACEMENT SHEET

FIG. 10

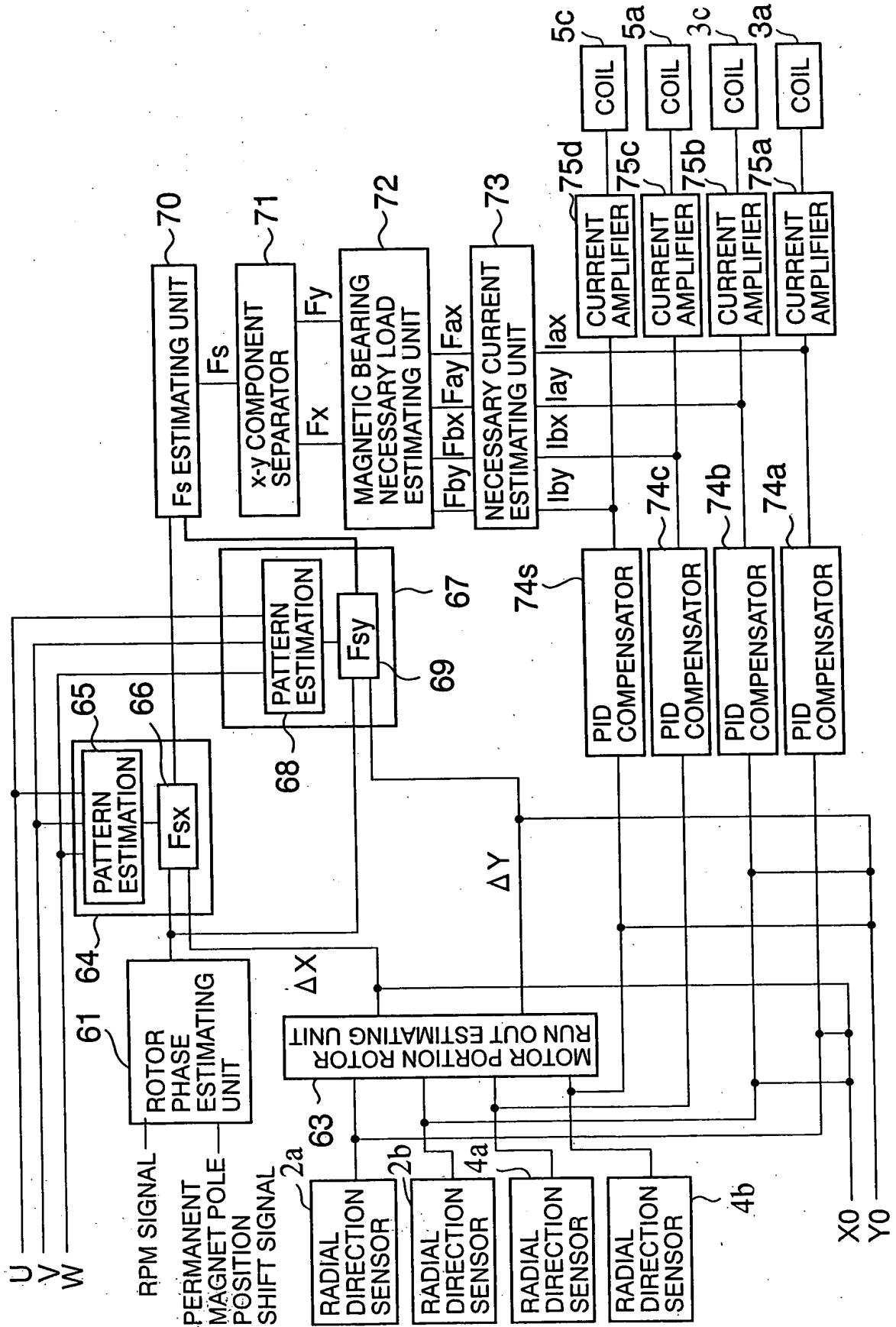
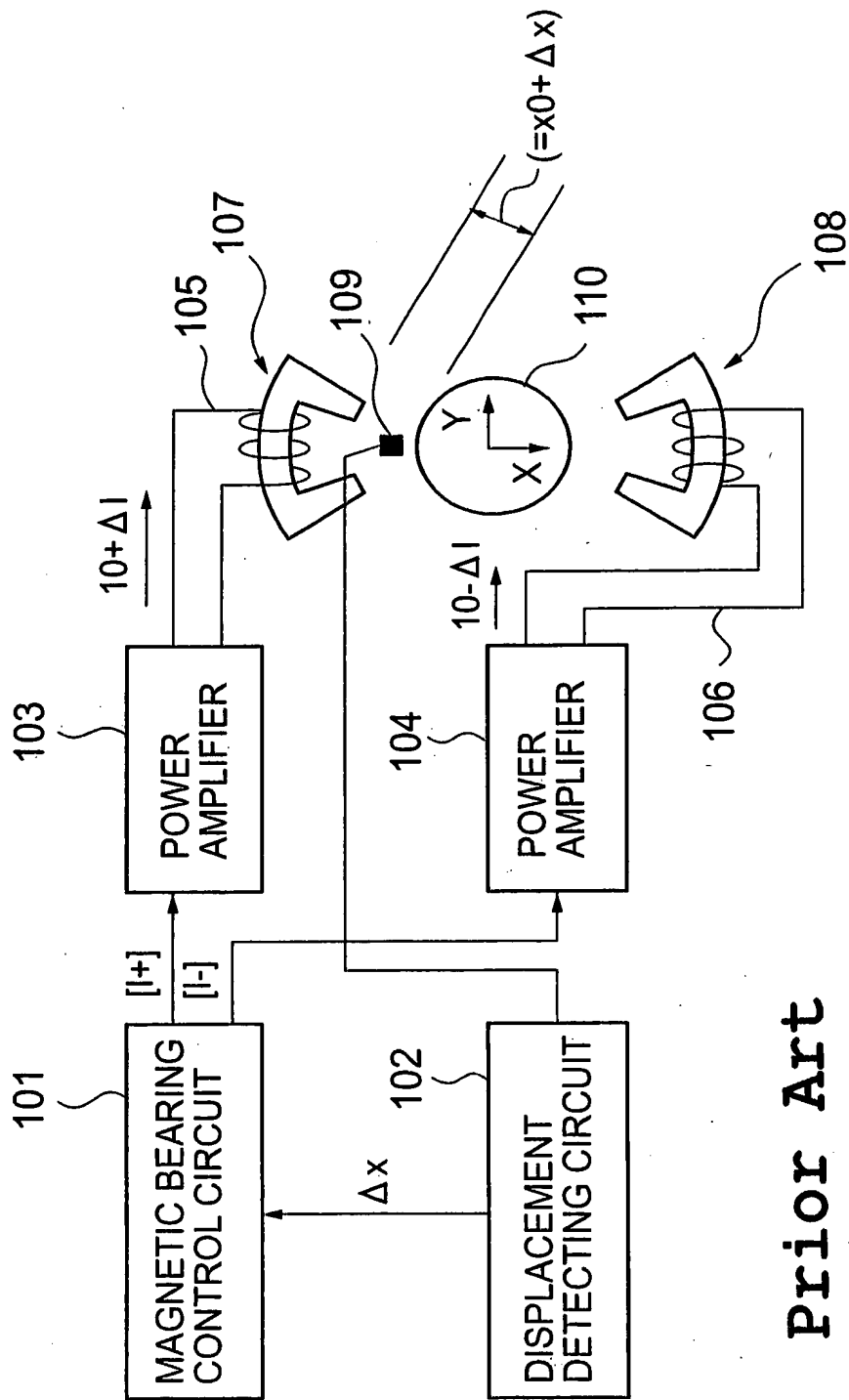




FIG. 11



Prior Art